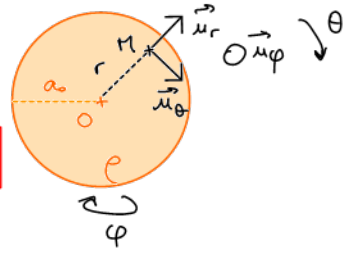


Partie A - L'atome classique

I - Le modèle "plum pudding"

Q1 (cours) - Plans de symétrie de la distribution de charge sphérique  $(\rho, a_0)$ .

$\Pi_1 = (M, \vec{u}_r, \vec{u}_\theta)$  et  $\Pi_2 = (M, \vec{u}_\theta, \vec{u}_\varphi) \Rightarrow \vec{E}(M) \in \Pi_1 \cap \Pi_2 \Rightarrow \vec{E}(M) = E(M) \vec{u}_r$

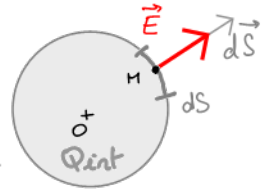


Q2 (cours) - Invariance de la distribution de charge sphérique  $(\rho, a_0)$  par rotation

d'angles  $\theta$  et  $\varphi$  autour de O  $\Rightarrow \vec{E}(r, \theta, \varphi) = \vec{E}(r)$

Q3 (cours) - \* Théorème de Gauss :

$\oint_{\text{surface fermée}} \vec{E}(M) \cdot d\vec{S} = \frac{Q_{\text{int}}}{\epsilon_0}$   
surface fermée / vecteur sortant / charge contenue à l'intérieur de la surface (S)



\* Ici :  $\left\{ \begin{array}{l} \text{surface de Gauss} = \text{sphère, de centre O passant par M} \\ \oint \vec{E}(M) \cdot d\vec{S} = \iint_{\theta, \varphi} E(r) \vec{u}_r \cdot r^2 \sin\theta d\theta d\varphi \vec{u}_r = 4\pi r^2 E(r) \\ Q_{\text{int}} = \iiint \rho d\tau = \int_0^r \int_0^\varphi \int_0^\theta \rho r^2 \sin\theta dr d\theta d\varphi = \rho \frac{4}{3} \pi r^3 \end{array} \right.$

$\Rightarrow \vec{E}(r) = \frac{\rho}{3\epsilon_0} r \vec{u}_r = \frac{Q}{4\pi\epsilon_0 a_0^3} r \vec{u}_r$   
 où  $\rho = \frac{Q}{\frac{4}{3}\pi a_0^3}$

Q4 (cours) -  $\frac{\|m_e \vec{g}\|}{\|F_{\text{elec}}\|} = \frac{m_e g}{Q q_e r} = \frac{m_e g}{4\pi\epsilon_0 a_0^3} \ll 1 \Leftrightarrow r \gg \frac{m_e g}{q_e^2} \sim \frac{10^{-30} \cdot 10 \cdot 4\pi \cdot 10^{-11} \cdot 10^{-30}}{3 \cdot 10^{-38}} \approx 99 \cdot 10^{-32}$

Or on sait désormais que le noyau a une taille  $\sim 10^{-15} \text{ m}$   $\Rightarrow$  l'e<sup>-</sup> est forcément à distance très supérieure aux  $10^{-32} \text{ m}$  trouvés ici  $\Rightarrow \|m_e \vec{g}\| \ll \ll \|F_{\text{elec}}\|$ . le poids ne joue aucun rôle dans le movt de l'e<sup>-</sup>

Q5 (applicat directe du cours) - TMC à l'e<sup>-</sup> (dans le réf. supposé galiléen lié au noyau):  $\frac{d\vec{L}_O(M)}{dt} = \vec{L}_O(M) \wedge \vec{\omega} = \vec{L}_O(M) \wedge \vec{0} = \vec{0}$

on  $\vec{L}_O(M) = \vec{OM} \wedge \vec{p} = \vec{OM} \wedge \left( -\frac{q_e^2}{4\pi\epsilon_0 a_0^3} r \vec{u}_r \right) = \vec{0}$  (force centrale)  $\Rightarrow \frac{d\vec{L}_O(M)}{dt} = \vec{0} \Rightarrow \vec{L}_O(M) = \text{cte} = \vec{OM} \wedge m\vec{v}$   
 $\Rightarrow \forall t, (\vec{OM}, \vec{v}) \in \text{plan} \perp \vec{L}_O$  (défini par  $(\vec{OM}_0, \vec{v}_0)$ )  $\Rightarrow (\vec{OM}, \vec{v})$  restent tjrs dans le même plan.  
 le mouvement de l'e<sup>-</sup> est donc plan.

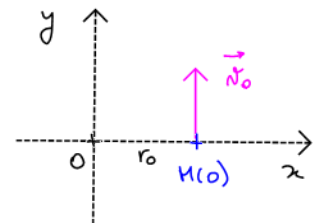
Q6 (facile) - \* PFD à l'e<sup>-</sup> (tjrs dans le même référentiel):  $m_e \vec{a} = \vec{F}_{\text{elec}} = \frac{-q_e^2}{4\pi\epsilon_0 a_0^3} \vec{OM}$

\* Projection sur la base cartésienne  $(O, \vec{u}_x, \vec{u}_y, \vec{u}_z)$ , en prenant  $\vec{u}_z \parallel \vec{L}_O(M) = \vec{OM}_0 \wedge m\vec{v}_0$

$\begin{cases} m \ddot{x} = -\frac{q_e^2}{4\pi\epsilon_0 a_0^3} x \\ m \ddot{y} = -\frac{q_e^2}{4\pi\epsilon_0 a_0^3} y \\ \ddot{z} = 0 \end{cases} \Rightarrow \begin{cases} \ddot{x} + \omega_0^2 x = 0 \quad (1) \\ \ddot{y} + \omega_0^2 y = 0 \quad (2) \\ \dot{z} = 0; z = 0 \end{cases}$  où  $\omega_0 = \frac{q_e}{\sqrt{m_e 4\pi\epsilon_0 a_0^3}}$

Q7 - Solutions de (1) et (2) du type:  $f(t) = A \cos \omega_0 t + B \sin \omega_0 t$

si on prend  $\begin{cases} x(0) = r_0 \\ y(0) = 0 \end{cases}$  et  $\begin{cases} \dot{x}(0) = 0 \\ \dot{y}(0) = v_0 \end{cases} \Rightarrow \begin{cases} x(t) = r_0 \cos(\omega_0 t) \\ y(t) = \frac{v_0}{\omega_0} \sin(\omega_0 t) \end{cases}$



Alors  $\left(\frac{x}{r_0}\right)^2 + \left(y \frac{\omega_0}{v_0}\right)^2 = 1$  trajectoire elliptique tant que  $r^2 = x^2 + y^2 < a_0^2$  (c-à-d que l'e- reste dans la boule chargée ⊕)  
 donc mouvement périodique de pulsation  $\omega_0$

Q8 - \* Energie mécanique:  $E_M = E_c + E_p^{elec} = \frac{1}{2} m v^2 + \frac{1}{2} \frac{q_e^2}{4\pi\epsilon_0 a_0^3} r^2$  (avec  $\vec{F}_{elec} = -grad E_p^{elec}$ )  
 $= \frac{1}{2} m [v^2 + \omega_0^2 r^2]$  (toujours avec la m- hypothèse:  $r^2 < a_0^2$ )

où  $v^2 = v_x^2 + v_y^2 = \omega_0^2 r_0^2 \sin^2(\omega_0 t) + v_0^2 \cos^2(\omega_0 t)$   
 $r^2 = x^2 + y^2 = r_0^2 \cos^2(\omega_0 t) + \frac{v_0^2}{\omega_0^2} \sin^2(\omega_0 t)$   
 $\Rightarrow v^2 + \omega_0^2 r^2 = \omega_0^2 r_0^2 [\sin^2(\omega_0 t) + \cos^2(\omega_0 t)] + v_0^2 [\cos^2(\omega_0 t) + \sin^2(\omega_0 t)] = \omega_0^2 r_0^2 + v_0^2$

↳  $E_M = \frac{1}{2} m v_0^2 + \frac{1}{2} m \omega_0^2 r_0^2 = \text{cste}$

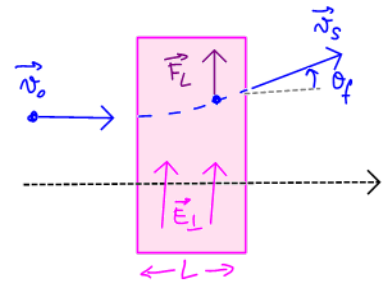
\* Avec au MAXIMUM,  $E_M = \frac{1}{2} m \omega_0^2 a_0^2$  (vitesse nulle quand  $r = a_0$  donc l'e- ne sort pas de la boule)

$\Rightarrow$  il faut  $E_M < \frac{1}{2} m \omega_0^2 a_0^2 \Leftrightarrow v_0^2 + \omega_0^2 r_0^2 < \omega_0^2 a_0^2 \Leftrightarrow v_0 < \omega_0 \sqrt{a_0^2 - r_0^2}$

Q9 - la pulsation du mot de l'e- est  $\omega_0 \Rightarrow$  fréquence  $f = \frac{\omega_0}{2\pi} = \frac{q_e}{2\pi \sqrt{m_e 4\pi\epsilon_0 a_0^3}}$  AN:  $f = 2,5 \cdot 10^{15}$  Hz  
 Une OEM à cette fréquence appartient au domaine dsUV.

## II. Découverte du noyau.

Q10 - \* Hypothèse: les particules  $\alpha$  traversant la feuille de mica sont soumises à un champ élec. uniforme  $\vec{E}_\perp = E_\perp \vec{u}_y$  ( $\perp$  vitesse initiale  $\vec{v}_0$ )



\* les particules sont donc déviées par la force de Lorentz:  $\vec{F}_L = 2q_e \vec{E}_\perp$

(leur poids ne joue toujours aucun rôle: on peut m. q.  $m_\alpha \cdot g \ll 2q_e E_\perp$ )

et ressortiront en faisant un angle  $\theta_f = \frac{v_{sy}}{v_{sx}}$  par rapport à leur direction d'incidence

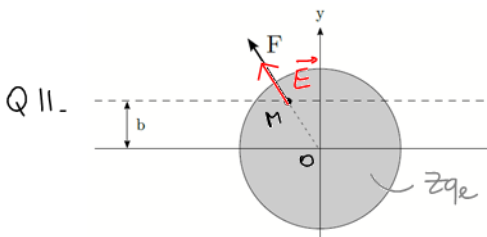
\* PFD à une particule  $\alpha$  (masse  $m_\alpha$ ):  $m_\alpha \vec{a} = \vec{F}_L = 2q_e \vec{E}_\perp$

Projection selon  $(\vec{u}_x, \vec{u}_y)$ :  $a_x = \ddot{x} = 0 \Rightarrow v_x = v_0 = \text{cste} \Rightarrow x = v_0 t \Rightarrow$  instant de sortie:  $t_f = \frac{L}{v_0}$

$a_y = \ddot{y} = \frac{2q_e E_\perp}{m_\alpha} \Rightarrow v_y = \dot{y} = \frac{2q_e E_\perp}{m_\alpha} t \Rightarrow$  vitesse de sortie:  $v_{ys} = \frac{2q_e E_\perp L}{m_\alpha v_0}$

↳ angle en sortie:  $\theta_f = \frac{v_{ys}}{v_{xs}} = \frac{2q_e E_\perp L}{m_\alpha v_0^2} = \frac{q_e E_\perp L}{E_c} \Rightarrow E_\perp = \frac{\theta_f E_c}{q_e L} \approx \frac{2}{180} \pi \times \frac{5 \cdot 10^6 \cdot 1,6 \cdot 10^{-19}}{1,6 \cdot 10^{-19} \cdot 3 \cdot 10^{-5}} \approx 58 \cdot 10^9 \text{ V} \cdot \text{m}^{-1}$

On obtient donc un champ de l'ordre de  $58 \cdot 10^9 \text{ V} \cdot \text{cm}^{-1}$ , conforme aux 100 millions de V par cm de Rutherford.



$\vec{F} = 2q_e \cdot \vec{E}(M) = \frac{2zq_e^2}{4\pi\epsilon_0 a_0^3} \vec{OM} = \frac{2zq_e^2}{4\pi\epsilon_0 a_0^3} x$   
 $(\vec{u}_x, \vec{u}_y) \left| \frac{2zq_e^2}{4\pi\epsilon_0 a_0^3} b = \frac{2z e^2 b}{a_0^3} \right.$  selon  $\vec{u}_y$

Q12 - PFD à la particule  $\alpha$  (1<sup>tr</sup>éf. du noyau d'or, galiléen):  $\frac{d\vec{p}}{dt} = \vec{F} \Rightarrow$  selon  $\vec{u}_y$ :  $\frac{dp_y}{dt} = \frac{2z e^2 b}{a_0^3} = \text{cste}$

$$\Rightarrow \Delta p_y = \frac{2Ze^2}{a_0^3} b \Delta t \quad \text{ou} \quad \Delta t \approx \frac{\Delta x}{v_0} = \frac{2\sqrt{a_0^2 - b^2}}{v_0} \Rightarrow \Delta p_y = \frac{2Ze^2}{a_0^3 v_0} 2b \sqrt{a_0^2 - b^2}$$

On cherche pour quelle valeur de  $b$  cette expression est max  $\Leftrightarrow \frac{d}{db} (b \sqrt{a_0^2 - b^2}) = 0 \Rightarrow b = \frac{a_0}{\sqrt{2}}$

On obtient alors 
$$\Delta p_{y \text{ max}} = \frac{2Ze^2}{a_0^3 v_0} \frac{a_0}{\sqrt{2}} \sqrt{\frac{a_0^2}{2}} = \frac{2Ze^2}{a_0 v_0}$$

Q13 - La déviation en sortie est donc 
$$\theta = \frac{p_{y \text{ sortie}}}{p_{x \text{ sortie}}} = \frac{\Delta p_y}{p_x} = \frac{2Ze^2}{a_0 v_0 m v_0} = \frac{Ze^2}{a_0 E}$$
 AN:  $\theta = \frac{79 \cdot 1,4 \cdot 10^{-9}}{10^{-10} \cdot 5 \cdot 10^6} \approx 22 \cdot 10^{-5} \text{ rad}$   
 $= 13 \cdot 10^{-3} \text{ deg}$   
 $= 45''$

Q14 - le nombre d'atomes sur la trajectoire est  $N \sim \frac{L}{2a_0} \sim 5 \cdot 10^3 \Rightarrow \Delta \theta \sim \theta \sqrt{N} \sim 1^\circ$

On ne devrait donc pas observer de déviation importante selon ce modèle!

Q15 - Collision frontale  $\alpha$ -atome:  $E_H = \text{cste} = E_c + E_p^{\text{el}}$

ou au départ,  $E_p^{\text{el}} = 0 \Rightarrow E_H = E_c$

au point où la particule est la plus proche de l'atome,  $E_H \approx E_p^{\text{el}} = \frac{2Zq_e^2}{4\pi\epsilon_0 r_0}$  (cas où  $\alpha$  reste à l'ext:  $E_p = \frac{q_1 q_2}{4\pi\epsilon_0 r}$ )

Q16  $\Rightarrow E_c = \frac{2Ze^2}{r_0} \Rightarrow r_0 = \frac{2Ze^2}{E_c}$  AN:  $r_0 = \frac{2 \cdot 79 \cdot 1,6 \cdot 10^{-19}}{40 \cdot 10^6} \approx 5 \cdot 10^{-15} \text{ m}$  tout à fait l'ordre de la taille du noyau!  
 (5 fm)

### III - Instabilité d'un modèle classique

Q17 - \* Dans l'expression de  $\vec{E}$  fournie:  $\vec{E} = \frac{q}{4\pi\epsilon_0 c^2 r} \vec{a}_\perp$  on remarque que nécessairement  $\vec{a}_\perp = a_\perp \vec{u}_\theta$  (car  $\vec{a}_\perp =$  projeté de  $\vec{a}$  dans le plan  $(\vec{u}_\theta, \vec{u}_\varphi)$  or  $\vec{a} \in (0, \vec{u}_r, \vec{u}_\theta)$ ).

\* Relation de structure pour une onde plane dans le vide:  $\vec{B} = \frac{\vec{k} \wedge \vec{E}}{\omega}$

avec ici  $\vec{k} = k \vec{u}_r \Rightarrow \vec{B} = \frac{q a_\perp}{4\pi\epsilon_0 c^3 r} \vec{u}_r \wedge \vec{u}_\theta = \frac{q a_\perp}{4\pi\epsilon_0 c^3 r} \vec{u}_\varphi$

Q18 (cours) -  $\vec{\Pi} = \frac{\vec{E} \wedge \vec{B}}{\mu_0}$ : le flux de  $\vec{\Pi}$  au travers d'une surface correspond à la puissance électromagnétique rayonnée à travers cette surface donc  $\vec{\Pi}$  représente le vecteur densité surfacique de flux de puissance électromag.

Q19 (cours) -  $P = \oint_{\text{sphère}} \vec{\Pi} \cdot d\vec{S} = \int_0^\pi \int_\varphi \frac{q^2 a_\perp^2}{(4\pi\epsilon_0)^2 \mu_0 c^5} \vec{u}_r \cdot r^2 \sin\theta d\theta d\varphi \vec{u}_r$  ou  $a_\perp = \vec{a} \cdot \vec{u}_\theta = a \sin\theta$  et  $\epsilon_0 \mu_0 c^2 = 1$   
 $= \frac{q^2 a^2}{(4\pi\epsilon_0)^2 \mu_0 c^5} \cdot 2\pi \int_0^\pi \sin^3\theta d\theta = \frac{q^2 a^2}{6\pi \epsilon_0 c^3}$   
 = 4/3

Q20 - Modèle planétaire de l'atome H:  $\vec{f}_{\text{noyau} \rightarrow e} = -\frac{q_e^2}{4\pi\epsilon_0 r^2} \vec{u}_r$  associé à  $E_p = -\frac{q_e^2}{4\pi\epsilon_0 r}$  ( $r = R = \text{cste}$ )

\* PFD à l' $e^- \Rightarrow m_e \vec{a} = -m_e \frac{v^2}{R} \vec{u}_r = -\frac{q_e^2}{4\pi\epsilon_0 R^2} \vec{u}_r \Rightarrow n = \frac{e}{\sqrt{m_e R}}$

\* D'où une énergie mécanique:  $E_H = \frac{1}{2} m_e v^2 - \frac{e^2}{R} = \frac{e^2}{2R} - \frac{e^2}{R} = -\frac{e^2}{2R}$

Q21 - TEM:  $\frac{dE_{\text{th}}}{dt} = P_{\text{nc}} = P_{\text{rayonnée}} \stackrel{\text{cf. Q19}}{=} \frac{q_e^2 a^2}{6\pi\epsilon_0 c^3}$  en ici l'accélération de l'e<sup>-</sup> s'exprime:  $a = \frac{v^2}{R} = \frac{e^2}{m R^2}$

$$= \frac{2}{3} \underbrace{\frac{q_e^2}{4\pi\epsilon_0}}_{e^2} \frac{e^4}{c^3 m^2 R^4} = \frac{2}{3} \frac{e^6}{m^2 c^3 R^4}$$

Q22 - Et par ailleurs  $\frac{dE_{\text{th}}}{dt} \underset{\substack{\text{trajectoire} \\ \text{quasi-circulaire}}}{\approx} - \frac{e^2}{2R^2} \frac{dR}{dt} \Rightarrow \frac{dR}{dt} = - \frac{4}{3} \frac{e^4}{m^2 c^3 R^2}$

Q23 - On aura donc  $\frac{1}{3} [R^3(\tau) - R^3(r=0)] = - \frac{4}{3} \frac{e^4}{m^2 c^3} \tau \Rightarrow \tau = \frac{m^2 c^3 a_0^3}{e^4}$

Q24 - AN:  $\tau \approx 4 \cdot 10^{-10}$  sc

## Partie B - L'atome quantique

### IV - Relations d'Heisenberg.

Q25 (cours) -  $\|\psi(\vec{r})\|^2 d\tau$  représente la probabilité de trouver l'e<sup>-</sup> dans un volume  $d\tau$  autour de  $\vec{r}$ .

Condition de normalisation:  $\int_{r=0}^{r_0} \int_{\theta=0}^{\pi} \int_{\varphi=0}^{2\pi} \|\psi(\vec{r})\|^2 r^2 \sin\theta d\theta d\varphi dr = 1$

$\Leftrightarrow |A|^2 \frac{4\pi}{3} r_0^3 = 1 \Rightarrow A = \sqrt{\frac{3}{4\pi r_0^3}}$  (à une phase près:  $e^{i\varphi}$ ,  $\varphi$  quelconque)

Q26 - \*  $\langle \vec{r} \rangle = \iiint \vec{r} \|\psi(\vec{r})\|^2 d\tau = \vec{0}$  (par symétrie).

\*  $\langle r^2 \rangle = \iiint r^2 \|\psi(\vec{r})\|^2 d\tau = \int_0^{r_0} r^2 |A|^2 r^2 4\pi dr = 4\pi \cdot \frac{3}{4\pi r_0^3} \frac{r_0^5}{5} = \frac{3}{5} r_0^2$

\* Finalement:  $\Delta r^2 = \langle r^2 \rangle - \langle r \rangle^2 = \frac{3}{5} r_0^2 \Rightarrow \Delta r = \sqrt{\frac{3}{5}} r_0$

Q27 - Par analogie avec  $\psi(\vec{r})$ ,  $\|\chi(\vec{p})\|^2 d^3p$  représente la probabilité que l'impulsion de l'e<sup>-</sup> vaille  $\vec{p}$ , à  $d^3p$  près ( $\equiv$  soit compris entre  $p_x$  et  $p_x + dp_x$ ;  $p_y$  et  $p_y + dp_y$ ;  $p_z$  et  $dp_z$ ).

Q28 - De la même manière, on aura  $\iiint \|\chi(\vec{p})\|^2 d^3p = 1 \Rightarrow B = \sqrt{\frac{3}{4\pi p_0^3}}$

Et de même encore, on aura:  $\langle \vec{p} \rangle = \vec{0}$

$\langle p^2 \rangle = \frac{3}{5} p_0^2 \Rightarrow \Delta p = \sqrt{\frac{3}{5}} p_0$

Q29 - Inégalité de Heisenberg spatiale:  $\Delta r \cdot \Delta p \underset{\substack{\geq \frac{\hbar}{2} \\ \approx \hbar}}{\geq} \frac{\hbar}{2} \Leftrightarrow \frac{3}{5} r_0 p_0 \geq \frac{\hbar}{2}$  ou  $\frac{3}{5} r_0 p_0 \gtrsim \hbar$

Q30 (cours) - On a déjà utilisé l'expression de cette énergie potentielle:  $E_p = - \frac{q_e^2}{4\pi\epsilon_0 r_0} = - \frac{e^2}{r}$  (e<sup>-</sup> dans le champ créé par le proton)

Q31 -  $\langle E_p \rangle = \iiint E_p(r) \|\psi(\vec{r})\|^2 d\tau = \int_0^{r_0} - \frac{e^2}{r} |A|^2 4\pi r^2 dr = - e^2 \cdot \frac{3}{r_0^3} \cdot \frac{r_0^2}{2} = - \frac{3}{2} \frac{e^2}{r_0}$

Q32 -  $\langle E_c \rangle = \iiint E_c(\vec{p}) \cdot \|\chi(\vec{p})\|^2 d^3p = \frac{1}{2m_e} \int_0^{p_0} p^4 \cdot |B|^2 4\pi p^2 dp = \frac{3}{2m_e} \frac{p_0^5}{5} = \frac{3}{10} \frac{p_0^2}{m_e}$

Q33 -  $\langle E_H \rangle = \langle E_c \rangle + \langle E_p \rangle = \frac{3}{10m_e} \frac{\hbar^2}{r_0^2} \left(\frac{5}{3}\right)^2 - \frac{3}{2} \frac{e^2}{r_0} = \frac{5}{6} \frac{\hbar^2}{m_e r_0^2} - \frac{3}{2} \frac{e^2}{r_0}$

Q34 - Ainsi, l'énergie moyenne est minimale  $\Leftrightarrow \frac{d\langle E_H \rangle}{dr_0} = 0 \Leftrightarrow -\frac{5}{3} \frac{\hbar^2}{m_e r_0^3} + \frac{3}{2} \frac{e^2}{r_0^2} = 0 \Leftrightarrow r_0 = \frac{10}{9} \frac{\hbar^2}{m_e e^2}$   
 conforme à  $\approx \frac{\hbar^2}{m_e e^2}$

Q35 - AN:  $r_0 \approx \frac{10^{-38}}{10^{-30} \cdot 1,4^2 \cdot 10^{-18}} \approx 0,6 \cdot 10^{-10} \text{ m}$  ce qui correspond au rayon de l'atome H à l'état fondamental!

V - L'atome quantique.

Q36 -  $m(\text{C}_2\text{H}_2) = \frac{M(\text{C}_{52}\text{H}_{18}\text{N}_8)}{N_A} = 8,54 \cdot 10^{-25} \text{ kg}$

Q37 - PFD à la particule (masse m) dans le réf. terrestre galiléen, soumise uniquement à son poids:  $m\vec{a} = m\vec{g} \Rightarrow \ddot{x} = 0 \Rightarrow \dot{x} = v_0 = \text{cte} \Rightarrow x = v_0 t$   
 $\ddot{y} = -g \Rightarrow \dot{y} = -gt \Rightarrow y = -\frac{g}{2} t^2 \Rightarrow$  en  $\left\{ \begin{matrix} x=D \\ t=D/v_0 \end{matrix} \right.$ , on a  $y = -h = -\frac{g}{2} \left(\frac{D}{v_0}\right)^2$

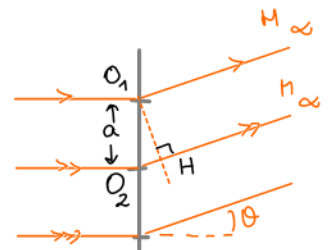
Q38 - On a donc  $v_0 = D \sqrt{\frac{g}{2|h|}}$  avec  $|h|_{\text{moy}} = 200 \mu\text{m} \Rightarrow v_{0,\text{moy}} = 150,3 \text{ m.s}^{-1}$   
 $\frac{\Delta v_0}{v_0} = \frac{1}{2} \frac{\Delta |h|}{|h|} \Rightarrow \Delta v_0 = 15 \text{ m.s}^{-1} \Rightarrow u(v_0) = \frac{\Delta v_0}{\sqrt{3}} = 8,7 \text{ m.s}^{-1}$

$\hookrightarrow v_0 = 150,3 \pm 8,7 \text{ m.s}^{-1}$

Rq: Je ne trouve pas clair dans l'énoncé ce qui est attendu pour  $\Delta v_0$ : l'écart-type (avec le facteur  $\frac{1}{\sqrt{3}}$ ) ou juste la largeur de la distribution (qui serait donc  $15 \text{ m.s}^{-1}$ )

Q39 - Longueur d'onde de de Broglie:  $\lambda_{dB} = \frac{h}{p} = \frac{h}{m v_0} = 5,18 \cdot 10^{-12} \text{ m}$

Q40 (cours) - Condition d'interférences constructives pour des ondes diffractées par un réseau éclairé à l'incidence normale ( $\theta_0 = 0$ ): il faut  $\delta_{12} = k \lambda$  ( $k \in \mathbb{Z}$ )  
 (car alors toutes les ondes seront en phase)



où  $\delta_{12} = (O_2M) - (O_1M) = (O_2H)$  d'après le théorème de Thalès (surfaces d'ondes  $\perp$  rayons lumineux) et le principe du retour inverse de la lumière ( $(MO_1) = (MH)$ ).

$\Rightarrow$  il faut  $a \sin \theta = k \lambda_{dB}$  ici ( $k \in \mathbb{Z}$ ).

Q41 - Les molécules arrivent sur un écran placé à distance  $L_2$  ( $\gg a$ ) du réseau  $\Rightarrow \theta_k \approx \frac{x_k}{L_2}$

$\hookrightarrow$  interférence:  $i = x_{k+1} - x_k \approx L_2 (\sin \theta_{k+1} - \sin \theta_k) = L_2 \frac{\lambda_{dB}}{a}$  AN:  $i \approx 29,2 \mu\text{m}$

Si la seule source d'incertitude provient de  $\lambda_{dB}$ , à cause de celle sur  $n_0$ , on aura :

$$\frac{\Delta i}{i} = \frac{\Delta \lambda_{dB}}{\lambda_{dB}} = \frac{\Delta v_0}{v_0} = \frac{1}{2} \frac{\Delta |h|}{|h|} = 10\% \Rightarrow \Delta i = 2,9 \mu\text{m} \text{ et } u(i) = \frac{\Delta i}{\sqrt{3}} = 1,7 \mu\text{m}$$

$$\hookrightarrow \underline{i = 29,2 \pm 1,7 \mu\text{m}}$$

On lit bien une interférence très légèrement inférieure à  $30 \mu\text{m}$  sur la figure  
(par contre la largeur des pics n'est clairement pas liée uniquement à l'incertitude sur  $h$  !)

## PARTIE C - MOUVEMENT BROWNIEN

Q43 (cours) - On rencontre une équation de diffusion pour décrite

→ la conduction thermique (équation de la chaleur :  $\frac{\partial T}{\partial t} = \frac{\lambda}{\rho c} \Delta T$ )

→ la conduction électrique dans un milieu ohmique (Maxwell + loi d'Ohm locale  $\Rightarrow \vec{\Delta} \vec{E} = \mu_0 \gamma \vec{E}$ )

→ l'évolution de la fonction d'onde d'une particule libre en mécanique quantique (Schrödinger :  $i\hbar \frac{\partial \psi}{\partial t} = \frac{\hbar^2}{2m} \Delta \psi$ )

Q44 - Nombre de particules à l'abscisse  $k$ , à l'instant  $(m+1)$  :

$$u_{k,m+1} = \underbrace{p \cdot u_{k-1,m}}_{\substack{\text{particules ayant transité depuis} \\ \text{l'abscisse } k-1, \text{ pdt } \tau}} + \underbrace{p \cdot u_{k+1,m}}_{\substack{\text{idem depuis} \\ k+1}} + \underbrace{(1-2p) u_{k,m}}_{\substack{\text{particules qui n'ont pas transité et sont restées en } k}} = u_{k,m} + p [u_{k-1,m} + u_{k+1,m} - 2u_{k,m}]$$

Q45 - Par discrétisation de l'équation de diffusion fournie :

$$n(t+\tau) - n(t) = \tau \frac{\partial n}{\partial t} \Rightarrow \frac{\partial n}{\partial t} = \frac{n_{k,m+1} - n_{k,m}}{\tau}$$

$$\begin{cases} n(x+a) = n(x) + a \frac{\partial n}{\partial x} + \frac{a^2}{2} \frac{\partial^2 n}{\partial x^2} \\ n(x-a) = n(x) - a \frac{\partial n}{\partial x} + \frac{a^2}{2} \frac{\partial^2 n}{\partial x^2} \end{cases} \Rightarrow \frac{\partial^2 n}{\partial x^2} = \frac{n(x+a) + n(x-a) - 2n(x)}{a^2} = \frac{n_{k+1,m} + n_{k-1,m} - 2n_{k,m}}{a^2}$$

$$\hookrightarrow \text{en divisant tout par } n_0 : \frac{u_{k,m+1} - u_{k,m}}{\tau} = D \cdot \frac{1}{a^2} [u_{k+1,m} + u_{k-1,m} - 2u_{k,m}]$$

$$\Rightarrow \underline{u_{k,m+1} = u_{k,m} + \frac{D\tau}{a^2} [u_{k-1,m} + u_{k+1,m} - 2u_{k,m}]} \text{ identique à l'équation précédente si } \underline{p = \frac{D\tau}{a^2}}$$

Q46 - \* En  $k=0$ , sur la paroi : les particules qui s'y adsorbent ne se décolle jamais  $\Rightarrow u_{0,m+1} = u_{0,m} + p u_{1,m}$   
(et elles ne peuvent venir que de  $k=1$ , avec une probabilité  $p$ )

\* En  $k=1$ , on ne peut recevoir aucune particule de  $k=0$  (adsorbées pour toujours), juste de  $k=2$   
(avec une proba  $p$ ) et celles qui sont restées en  $k=1$  (proba  $1-2p$ )  $\Rightarrow u_{1,m+1} = p u_{2,m} + (1-2p) u_{1,m}$

Q47 - On constate sur le graphique que, pour  $t \gg 200 \tau$ , on a  $u_0^2 \approx \beta \cdot \frac{t}{\tau} (+\gamma)$   $\beta = \frac{30}{250} = 0,12$  graphiquement

$$\Rightarrow M_0^2 = n_0^2 a^2 u_0^2(t) \approx n_0^2 a^2 \beta \frac{t}{\tau} (+\gamma n_0^2 a^2) \quad \text{ou} \quad a^2 = \frac{D\tau}{p}$$

$$\approx n_0^2 \frac{D}{p} \beta t \quad (+\gamma n_0^2 \frac{D\tau}{p})$$

donc  $\alpha = \frac{\beta}{p}$     A.N:  $\alpha \approx 1,2$  (voisin de 1, donc)

Q48 - \* On mesure le nombre de grains sur la surface  $S$  c'est  $N(t) = S \cdot M_0(t)$

\* On attend (et on constate) une loi de type linéaire en  $\sqrt{t}$ :  $N(t) = S M_0(t) = S n_0 \sqrt{\alpha} \sqrt{D} \sqrt{t}$

Problème: la légende du graphique et les libellés des axes ne sont pas en accord!  
La figure 6 donne-t-elle  $N^2$  en fonction de  $t$  ou  $N$  en fonction de  $\sqrt{t}$  ?!

(A) Si on suit les libellés des axes, et qu'on mesure le coefficient directeur reliant  $N$  à  $\sqrt{t}$

$$b = \frac{\Delta N}{\Delta \sqrt{t}} \Rightarrow b = \frac{640}{12\sqrt{3600}} = 0,88 \text{ uSI} \quad \text{et} \quad \mathcal{D} = \frac{b^2}{S^2 n_0^2 \alpha} \quad \text{A.N: } \mathcal{D} = 2,3 \cdot 10^{-15} \text{ m}^2 \cdot \text{s}^{-1}$$

(B) Si on suit le titre du graphique et qu'on mesure le coefficient directeur reliant  $N^2$  à  $t^2$

$$b^2 = \frac{\Delta N^2}{\Delta t} = 1,48 \cdot 10^{-2} \text{ s}^{-1} \quad \text{et} \quad \mathcal{D} = \frac{b^2}{S^2 n_0^2 \alpha} \quad \text{A.N: } \mathcal{D} = 4,5 \cdot 10^{-17} \text{ m}^2 \cdot \text{s}^{-1}$$

Q49 - \* On va faire l'inverse, pour voir quelle était la bonne interprétation du graphique de la figure 6:

$$\mathcal{D} = \frac{k_B T}{6\pi\eta r_0} \quad \text{A.N: } \mathcal{D} = 2,7 \cdot 10^{-15} \text{ m}^2 \cdot \text{s}^{-1} \quad \text{donc c'est l'hypothèse (A) qui est la bonne}$$

\* Avec les données issues de (A) on trouve  $k_B = \frac{6\pi\eta r_0 \mathcal{D}}{T}$     A.N:  $k_B \approx 1,2 \cdot 10^{-23} \text{ J} \cdot \text{K}^{-1}$

$$\text{et } N_A = \frac{R}{k_B} \approx \underline{7,0 \cdot 10^{23} \text{ mol}^{-1}}$$

ce qui est remarquablement proche de la valeur de  $6,02 \cdot 10^{23} \text{ mol}^{-1}$  !

Si ce sont réellement les résultats obtenus par Boullouin à l'époque qui sont représentés, c'est remarquable !